

03

© 1991 г.

## УСТОЙЧИВОСТЬ КАПЛИ РЕАЛЬНОЙ ЖИДКОСТИ В ЭЛЕКТРОСТАТИЧЕСКОМ ПОЛЕ

*C. O. Ширяева, A. И. Григорьев, E. И. Мухина*

### Введение

Задача расчета равновесной формы и определения критических условий неустойчивости капли реальной жидкости в электропроводной среде во внешнем электрическом поле представляет значительный интерес в связи с целым рядом приложений в физике, геофизике, технике — от масс-спектрометрии термически нестабильных и нелетучих органических соединений и подпитки жидким водородом установок для термоядерного синтеза до грозового электричества, проблем пробоя жидких диэлектриков и каплеструйной печати (см., например, [1-3] и указанную там литературу).

В этой связи данная задача в различных ее предельных частных случаях неоднократно рассматривалась [4-6], тем не менее полного ее решения, учитывавшего изменение в широких пределах диэлектрических проницаемостей и электропроводностей капли и среды, пока не найдено. Этому вопросу и посвящена данная работа.

1. Пусть первоначально сферическая капля радиуса  $R$  идеальной несжимаемой жидкости, имеющая плотность  $\rho$ , проводимость  $\lambda_1$  и диэлектрическую проницаемость  $\epsilon_1$ , окружена заполняющей все пространство идеальной несжимаемой средой с проводимостью  $\lambda_2$  и диэлектрической проницаемостью  $\epsilon_2$ , в которой создано однородное электрическое поле напряженностью  $E_0$ .

Примем, что равновесная форма капли во внешнем однородном электростатическом поле непроводящей среды близка к сфероиду с эксцентриситетом  $e$ , вытянутому вдоль поля [4-6], и будем решать в сферической системе координат, связанной с центром капли, задачу об определении равновесной формы капли, когда в среде течет стационарный ток (так как  $\lambda_1$  и  $\lambda_2$  отличны от нуля). Равновесная форма капли  $r=r(\theta)$  будет определяться из условия баланса давлений на ее поверхности

$$p_e = (p_1 - p_2) + p_E \quad (1)$$

на основе решения системы уравнений Лапласа

$$\Delta\Phi_i = 0 \quad (i=1; 2) \quad (2)$$

с граничными условиями

$$r \rightarrow 0; \quad \Phi_1 = \text{const}, \quad (3)$$

$$r = r(\theta); \quad \Phi_1 = \Phi_2, \quad (3)$$

$$\lambda_1 \frac{\partial\Phi_1}{\partial n} = \lambda_2 \frac{\partial\Phi_2}{\partial n}, \quad (4)$$

где  $\Phi_1$  и  $\Phi_2$  — потенциалы электростатического поля внутри и снаружи капли,  $p_e$  — лапласовское давление на поверхности раздела,  $p_E$  — давление электрического поля,  $p_1$  и  $p_2$  — постоянные давления в капле и окружающей среде при наличии электрического поля,  $n$  — вектор нормали к поверхности капли.

Считая, что отклонение формы капли от сферической мало ( $e^2 \ll 1$ ), будем искать форму поверхности в линейном по  $e^2$  приближении в наиболее общем осесимметричном виде разложения в ряд по полиномам Лежандра

$$r(\theta) = R + \sum_{n=0}^{\infty} a_n P_n(\cos \theta) \equiv R + f(\theta). \quad (5)$$

Амплитуды различных мод  $a_n$  определим из условия баланса давлений на поверхности капли (1).

Чтобы записать выражение для давления электрического поля  $p_E$ , входящее в (1), удобно воспользоваться аналогией уравнений стационарного тока (2)–(4) с соответствующей электростатической задачей для случая двух непроводящих диэлектрических сред [4], решение которой хорошо известно [7]. Постоянные давления  $p_1$  и  $p_2$  определяются из уравнений Эйлера для двух однородных изотропных сред в условиях отсутствия свободных зарядов. В результате правую часть уравнения (1) можно записать в виде

$$(p_1 - p_2) + p_E = (p_{01} - p_{02}) + \frac{\epsilon_2}{8\pi} [HE_{2n}^2 + (1 + \chi) E_1^2], \quad (6)$$

где

$$H \equiv 1 + \frac{1}{\alpha^2} (1 - 2\chi), \quad \chi \equiv \frac{\epsilon_1}{\epsilon_2}, \quad \alpha \equiv \frac{\lambda_1}{\lambda_2}.$$

Здесь  $p_{01}$  и  $p_{02}$  — постоянные давления в капле и окружающей среде в отсутствие электрического поля,  $E_{2n}$  — нормальная к сфериодальной поверхности раздела компонента напряженности электрического поля в среде,  $E_1$  — напряженность электрического поля в капле. Выражение для Лапласовского давления под искаженной сферической поверхностью в приближении  $f(\theta) \ll R$  в виде разложения по полиномам Лежандра хорошо известно [8]. Раскладывая выражение (6) по полиномам же Лежандра (с точностью до членов  $\sim e^2$ ), представляем выражения для  $p_E$  и (6) в условие баланса давлений на границе раздела сред и приравнивая коэффициенты при полиномах Лежандра одинакового порядка, найдем неизвестные амплитуды  $a_n$  в выражении для равновесной формы капли (5)

$$\begin{aligned} \frac{a_0}{R} &\approx -\frac{1}{45} \left[ \frac{9}{16\pi} w^2 \frac{\alpha^2 H}{(2+\alpha)^2} \right]^2, \\ \frac{a_2}{R} &\approx \frac{9}{16\pi} w^2 \frac{\alpha^2 H}{(2+\alpha)^2} \left[ \frac{1}{3} - e^2 \left( \frac{2}{21} + \frac{4}{15} \frac{(1-\alpha)}{(2+\alpha)} \right) \right], \\ \frac{a_4}{R} &\approx \frac{9}{16\pi} w^2 \frac{\alpha^2 H}{(2+\alpha)^2} \frac{16}{315} e^2. \end{aligned} \quad (7)$$

Здесь  $w^2 \equiv \epsilon_2 E_0^2 R \sigma^{-1}$  — параметр Тейлора. Из сравнения полученного выражения для равновесной поверхности капли (5) с коэффициентами (7) с разложением уравнения сфероида по полиномам Лежандра (с точностью до членов  $\sim e^4$ ) видно, что с точностью до членов  $\sim e^2$  равновесная форма капли будет сфероидальной. Причем выражение, связывающее эксцентриситет равновесного сфероида с физическими характеристиками системы  $E_0$ ,  $\alpha$ ,  $\epsilon_i$ ,  $\lambda_i$ ,  $R$  ( $i = 1, 2$ ), имеет вид

$$e^2 \simeq \frac{9}{16\pi} w^2 \alpha^2 H (2 + \alpha)^{-2}. \quad (8)$$

2. Исследуем найденную равновесную форму на устойчивость. Для этого, учитывая, что неустойчивость капли в поле начинается с неустойчивости именно второй моды ( $\sim p_2(\cos \theta)$ ), примем, что по отношению к равновесной сферической поверхности задано виртуальное возмущение вида  $\xi_0 P_2(\cos \theta)$ . Уравнение новой равновесной поверхности, установившейся в результате взаимодействия указанного возмущения с электрическим полем и током, будем вновь искать в виде разложения по полиномам Лежандра

$$r = r(\theta) + f(\theta) = r(\theta) + \sum_{n=0}^{\infty} a_n P_n(\cos \theta). \quad (9)$$

Для нахождения  $f(\theta)$  получим систему уравнений, аналогичную системе (1)–(4),

$$\Delta \delta \Phi_i = 0 \quad (i = 1; 2)$$

с граничными условиями на поверхности капли

$$\begin{aligned} \delta \Phi_1 &= \delta \Phi_2, \\ \lambda_1 \frac{\partial (\delta \Phi_1)}{\partial n} &= \lambda_2 \frac{\partial (\delta \Phi_2)}{\partial n}, \\ \delta p_e &= \delta p + \delta p_e. \end{aligned} \quad (10)$$

Здесь  $\delta \Phi_i$ ,  $\delta p_e$ ,  $\delta p_e$  — малые добавки к соответствующим величинам, появившимся из-за возмущения поверхности  $\xi_0 P_2(\cos \theta)$ ;  $\delta p$  — малое изменение постоянного давления внутри капли. Чтобы найти добавку  $\delta p_e$  к давлению электрического поля на поверхности капли, учтем, что возмущение поверхности  $\xi(\theta) = \xi_0 P_2(\cos \theta)$  соответствует увеличению эксцентриситета сфероида  $e^2 \rightarrow e_0^2 = e^2 + \delta e^2$ , где  $\delta e^2 \approx 3(1 - (7/6)e^2)\xi_0 R^{-1}$ . Отсюда несложно найти изменения напряженности электрического поля внутри и вне капли, связанные с искажением сфероидальной формы ( $\delta E_{2n}$  и  $\delta E_1$ ), а также соответствующую добавку к давлению поля

$$\delta p_e = \frac{\epsilon_2}{4\pi} [HE_{2n}\delta E_{2n} + (1 + \alpha)E_1\delta E_1]. \quad (11)$$

Раскладывая (11) в ряд по полиномам Лежандра, подставляя выражения для  $\delta p_e$  и  $\delta p_e$ , согласно [5], в условие баланса давлений (10), найдем равновесные амплитуды  $a_n$  в разложении (9). Выпишем здесь лишь выражение для амплитуды 2-й моды  $a_2$ , необходимое для дальнейшего анализа,

$$\frac{a_2}{R} \simeq w^2 F K_2 \frac{\xi_0}{R}, \quad (12)$$

где

$$\begin{aligned} F &\equiv \frac{27}{4\pi} \frac{\alpha^2 H}{(2+\alpha)^2}; \quad K_2 \equiv S + e^2 G; \quad S \equiv \frac{2}{5} \left( \frac{3}{7} - \frac{2}{2+\alpha} \right); \\ G &\equiv \frac{18}{49} + \frac{41}{63} \left( 1 - \frac{42}{41} \eta \right) \delta - \frac{16}{35} \left( 1 - \frac{7}{6} \delta \right) \mu; \quad \mu \equiv \frac{1-\alpha}{2+\alpha}; \\ \delta &\equiv \frac{3}{5} \left( 1 + \frac{2}{2+\alpha} \right); \quad \eta \equiv \frac{7}{5} - \frac{6}{5} \frac{1}{(2+\alpha)} + \frac{2(1-\alpha)}{4+\alpha}. \end{aligned}$$

Все последующие нечетные коэффициенты равны нулю, а четные отличны от нуля, но весьма малы и пропорциональны амплитуде возмущения второй моды  $\xi_0 R^{-1}$ . Условие  $|a_{2n}| \ll |a_{2(n-1)}|$  выполняется для всех  $n \geq 2$ , и каждый последующий четный коэффициент примерно на порядок меньше предыдущего.

В итоге коэффициенты  $a_n$  определяют амплитуды равновесных отклонений мод капиллярных волн от значений, характерных для сфероидальной формы капли, при исходном возмущении  $\xi(\theta) = \xi_0 P_2(\cos \theta)$ . Ясно, что амплитуда исходного возмущения  $\xi(\theta)$  уменьшится, а форма капли будет стремиться к сфероидальной при  $a_2 < \xi_0$  (более детальные рассуждения в [5]), что соответствует выполнению условия  $w^2 F K_2 < 1$ , или с учетом (8) получим условие устойчивости поверхности капли реальной жидкости во внешнем электрическом поле

$$w^2 < \frac{8\pi}{9} \frac{S}{G} \frac{(2+\alpha)^2}{\alpha^2 H} \left[ \sqrt{1 + \frac{4}{3} \frac{\alpha}{(2+\alpha)} \frac{G}{S^2}} - 1 \right]. \quad (13)$$

В предельном случае для идеально проводящей капли в вакууме, помещенной во внешнее однородное поле ( $\lambda_1 \rightarrow \infty$ ;  $\lambda_2 \rightarrow 0$ ;  $\varepsilon_1 \rightarrow \infty$ ;  $\varepsilon_2 \rightarrow 1$ ), из выражения (13) получим известное условие устойчивости  $w^2 = E_0^2 R \sigma^{-1} < 2.63$ , полу-

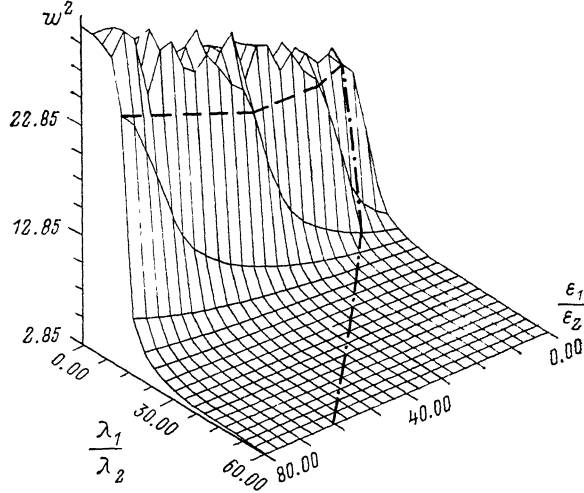


Рис. 1. Зависимость критического для развития неустойчивости значения параметра Тейлора от отношения диэлектрических проницаемостей и электропроводностей капли и среды.

ченное теоретически аналогичным методом в работе [5] и хорошо совпадающее с известными экспериментальными данными. В другом предельном случае при  $\lambda_1/\lambda_2 \rightarrow \varepsilon_1/\varepsilon_2$  получим критическое условие развития неустойчивости

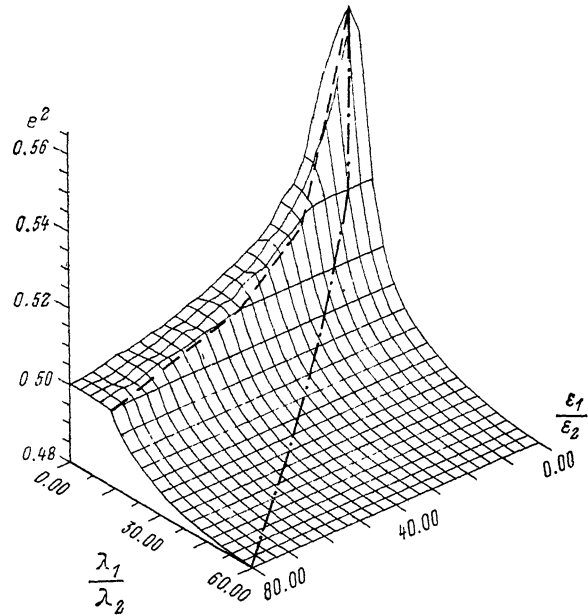


Рис. 2. Зависимость предельного значения квадрата эксцентриситета равновесной капли от отношения диэлектрических проницаемостей и электропроводностей капли и среды.

диэлектрической капли в однородном внешнем поле, совпадающее с условием, полученным численным образом в работе [6].

Из очевидного требования положительности величины  $\epsilon^2$  и  $w^2$ , используя выражения (8) и (13), несложно получить в координатах  $\lambda_1\lambda_2^{-1}$ ,  $\varepsilon_1\varepsilon_2^{-1}$  область определения рассматриваемой задачи. На рис. 1, 2 представлены трехмерные

графики поверхностей  $w^2$  и  $e^2$  в координатах  $\lambda_1\lambda_2^{-1}$  и  $\varepsilon_1\varepsilon_2^{-1}$ , на которых штриховой линией обозначена граница области определения задачи. Из этих рисунков наглядно видно, что с увеличением отношения  $\lambda_1\lambda_2^{-1}$  при фиксированном  $\varepsilon_1\varepsilon_2^{-1}$  критическое значение параметра Тейлора  $w^2$  и соответствующее ему значение квадрата равновесного эксцентризитета  $e^2$  уменьшаются. Причем  $w^2 \rightarrow \approx 2.63$ , а  $e^2 \rightarrow \approx 0.48$  при стремлении  $\varepsilon_1\varepsilon_2^{-1}$  и  $\lambda_1\lambda_2^{-1}$  к бесконечности (т. е. при переходе к идеально проводящей капле в вакууме). Если же зафиксировать  $\lambda_1\lambda_2^{-1}$ , то с увеличением  $\varepsilon_1\varepsilon_2^{-1}$  критическое значение параметра  $w^2$  растет, в то время как соответствующее значение  $e^2$  от величины  $\varepsilon_1\varepsilon_2^{-1}$  не зависит, а определяется лишь отношением  $\lambda_1\lambda_2^{-1}$ . Штрихпунктир на рис. 1 и 2 соответствует частному случаю  $\lambda_1\lambda_2^{-1} \rightarrow \varepsilon_1\varepsilon_2^{-1}$  — задаче об устойчивости диэлектрической капли в электростатическом поле, помещенной в диэлектрическую среду (т. е. без учета проводимостей).

В заключение представляется целесообразным отметить, что задачи расчета равновесных форм и критических условий неустойчивости капель во внешних полях могут решаться и численными методами, как это, например, сделано в [9, 10].

### Список литературы

- [1] Григорьев А. И., Сыщиков Ю. В., Ширяева С. О. // ЖПХ. 1989. Т. 62. № 9. С. 2020—2026.
- [2] Золотой Н. Б., Карпов Г. В., Скурат В. Е. // ЖТФ. 1988. Т. 58. Вып. 2. С. 315—323.
- [3] Woosley J. P., Turnbull R. J., Kim K. // J. Appl. Phys. 1989. Vol. 21. P. 4278—4284.
- [4] O'Konski C. T., Harris F. E. // J. Phys. Chem. 1957. Vol. 61. N 9. P. 1172—1174.
- [5] Григорьев А. И., Ширяева С. О., Белавина Е. И. // ЖТФ. 1989. Т. 59. Вып. 6. С. 27—34.
- [6] Григорьев А. И., Ширяева С. О. // Сб. науч. тр. МЭИ. Исследование процессов и систем монодисперсного распада жидкости. 1986. № 119. С. 39—48.
- [7] Ландау Л. Д., Либшиц Е. М. Электродинамика сплошных сред. М.: Гостехиздат, 1957. 532 с.
- [8] Ландау Л. Д., Либшиц Е. М. Гидродинамика. М.: Наука, 1986. 734 с.
- [9] Basaran O. A., Scriven L. E. // Phys. Fluids A. 1989. Vol. 1. N 5. P. 799—809.
- [10] Scherwood J. D. // J. Fluid Mech. 1988. Vol. 188. P. 133—146.

Ярославский университет

Поступило в Редакцию

10 октября 1990 г.

В окончательной редакции

6 февраля 1991 г.